



БИООРГАНИЧЕСКАЯ ХИМИЯ

том 10 * №10 * 1984

УДК 547.455.5/6'495.3/4.04

ВНУТРИМОЛЕКУЛЯРНОЕ КАРБАМОИЛИРОВАНИЕ ПРИ ЩЕЛОЧНОМ РАЗЛОЖЕНИИ 3-ГЛИКОПИРАНОЗИЛ-1-МЕТИЛ-1-НИТРОЗОМОЧЕВИН

*Муханов В. И., Кустова И. Л., Гаглоев В. Н.,
Ярцева И. В., Шевченко В. Е., Веверис А. Я.*,
Спинце Б. А.* , Преображенская М. Н.*

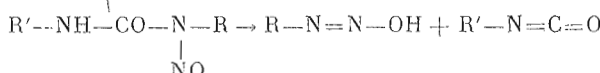
Всесоюзный онкологический научный центр

Академии медицинских наук СССР, Москва;

** Всесоюзный научно-исследовательский институт
прикладной биохимии МХП СССР, Олайне, ЛатвССР*

При действии щелочи на 3- α -D-арабинопиранозил-1-метил-1-нитрозомочевину или 3- β -D-ксилопиранозил-1-метил-1-нитрозомочевину происходит внутримолекулярное карбамоилирование и образуются N¹,O³-карбонил- α -D-арабинопиранозиламины или N¹,O³-карбонил- β -D-ксилопиранозиламины соответственно. Эти соединения относятся к малоизвестным мостиковым производным моносахарида. При циклизации изменяется конформация α -D-арабинопиранозы от ¹C₄ в ⁴C₁, а β -D-ксилопиранозы — от ⁴C₁ в ¹C₄. 3- β -D-Глюкопиранозил-1-метил-1-нитрозомочевина при щелочной обработке образует бициклическое производное — N¹,O²-карбонил- β -D-глюкопиранозиламины, относящийся к редкому типу бициклических производных глюкопиранозы с 1,2-транс-сочленением циклов. 3- β -D-Глюкопиранозил-1-метил-1-нитрозомочевина и образующийся продукт внутримолекулярного карбамоилирования сохраняют ⁴C₁-конформацию. Изучение превращений 3-гликозил-1-метил-1-нитрозомочевин важно для понимания вклада реакций карбамоилирования в биологический эффект препаратов класса алкилнитрозомочевин.

В последние годы при лечении злокачественных опухолей широко применяются препараты класса 1-алкил-1-нитрозомочевин. К ним относится предложенная для этого впервые в СССР 1-метил-1-нитрозомочевина, а также разработанные в США 1,3-ди-(2-хлорэтил)-1-нитрозомочевина (BCNU) и 3-циклогексил-1-(2-хлорэтил)-1-нитрозомочевина (CCNU) [1]. Биологическая активность препаратов этого класса обусловлена их способностью алкилировать (а в случае хлорэтильных производных также сшивать) участки ДНК и некоторых белков. Алкилнитрозомочевины нарушают жизненно важные процессы репликации, транскрипции, репарации и др. Эти соединения проявляют в организме не только алкилирующую, но и карбамоилирующую активность, разлагаясь с образованием алкилдиазогидроксидов, дающих активные алкилирующие агенты, и изоцианатов, способных карбамоилировать нуклеофилы:



Биологическое значение карбамоилирующей способности алкилнитрозомочевин пейсно. В связи с этим представляют интерес алкилнитрозомочевины, обладающие низкой карбамоилирующей активностью. К соединениям такого типа могут относиться алкилнитрозомочевины, содержащие заместители, обеспечивающие возможность внутримолекулярного карбамоилирования, например 3-гликозил-1-метил-1-нитрозомочевины, которые мы изучали. Соединение близкого типа — 3- β -D-глюкопиранозил-1-нитро-зо-1-(2-хлорэтил)мочевина (GANU) исследуется в клиниках Японии как противоопухолевый препарат [2]. Для ряда 3-гликозил-1-алкил-1-нитрозомочевин описаны способы синтеза и биологические свойства [3, 4], однако химическая трансформация этих соединений ранее не изучалась.

3-Гликопиранозил-1-метилмочевины (I), (II) и (III) были получены конденсацией D-арabinозы, D-ксилозы или D-глюкозы с N-метилмочеви-

ной в воде в присутствии H_2SO_4 по методу [5–7] и выделены кристаллизацией из реакционной смеси с выходами 40–47%. Данные ПМР свидетельствуют о том, что 3-*D*-арабинопиранозил-1-метилмочевина (I) имеет α -конформацию и находится в конформации 1C_4 , а 3-*D*-ксилопиранозил- и 3-*D*-глюкопиранозил-1-метилмочевины (II) и (III) – β -конформацию и конформацию 1C_1 (табл. 1).

Гликопиранозилметилмочевины (I)–(III) нитровировали нитритом натрия в водной уксусной кислоте. После завершения реакции (проводился контроль методом ТСХ) реакционный раствор деионизировали смолой КУ-2 (H^+). Полученные гликозилнитрозометилмочевины (IV)–(VI) без выделения использовали в последующих превращениях. Только 1- α -*D*-арабинопиранозил-3-метил-3-нитрозомочевина (IV) была выделена в аналитически чистом виде перекристаллизацией реакционной смеси, лиофильно высущенной после деионизации, с выходом 80%. Было показано, что при переходе к нитрозопроизводному (IV) сохраняется конфигурация и конформация исходной гликозилметилмочевины (I).

Растворы, содержащие 3-гликозил-1-метил-1-нитрозомочевины (IV)–(VI), обрабатывали щелочью. При этом наблюдалось выделение азота и диазометана. Щелочной раствор после обработки катионитом КУ-2 (H^+) лиофилизовали, вещества кристаллизовали из метанола. С выходами 21–45% (считая на соответствующие гликозилметилмочевины) были получены бициклические производные углеводов (VII)–(IX).

В случае производных *D*-ксилозы и *D*-арабинозы образующиеся под действием щелочи гликозилизоцианаты подвергались внутримолекулярной циклизации по 3-OH-группе. Полученные соединения (VII) и (VIII) относятся к малоизвестному в ряду моносахаридов типу мостиковых производных (2-аза-4,8-диоксабицикло[3.3.1]нонанов), образующихся с участием *cis*-диаксиально ориентированных функциональных групп в положениях 1 и 3. Более удобно называть эти соединения N^1O^3 -карбонил-1- α -*D*-арабинопиранозиламином (VII) и N^1O^3 -карбонил-1- β -*D*-ксилопиранозиламином (VIII). Бициклические производные (VII) и (VIII) не окисляются периодатом натрия, не титруются кислотой или щелочью в условиях неводного титрования.

При циклизации и образовании бициклического соединения (VII) или (VIII) произошло изменение конформации, обеспечившее *cis*-диаксиальную ориентацию заместителей при 1-C и 3-C моносахарида, т. е. бициклическое производное α -*D*-арабинозы (VII) существует в конформации 1C_1 , а производное α -*D*-ксилозы – в конформации 1C_4 . Для соединения (VII) это подтверждается данными спектров ПМР. Так, значение $J_{1,2}$ (2,3 Гц) соответствует диэвкаториальному расположению протонов при 1-C и 2-C, а значение $J_{4,5a}$ (10,9 Гц) – аксиальному расположению протонов при 4-C и 5-C. Особенностью спектра ПМР соединения (VII) является наличие дальних взаимодействий протонов. Наблюдаются дальние константы $^4J_{1,3}=2,0$ Гц; $^4J_{1,5}=0,4$ Гц, $^4J_{2,4}=0,5$ Гц, $^4J_{3,5e}=0,8$ Гц, $^4J_{3,5a}=0,4$ Гц. Более строгое отнесение этих констант, учитывая их малые величины ($J<1$ Гц, за исключением $^4J_{1,3}$), возможно только после проведения симуляции спектров. В ПМР-спектре соединения (VII), снятом в пиридине- d_5 , присутствует дублет при 8,33 м.д., принадлежащий NH-протону, а сигнал аномерного протона соответствующим образом усложнен. Сравнение химических сдвигов углеводных протонов соединений (VII) и (I) показывает, что более всего изменилось положение протона при 3-C ($\Delta\delta_{(VII-I)}=-0,89$, см. табл. 1). Ацетилированием соединения (VII) уксусным ангидридом в пиридине удалось получить 2,4-ди-O-ацетат (X), выделенный хроматографически. По сравнению с бициклом (VII) в ПМР-спектре его диацетата (X) более всего смешены в слабое поле сигналы протонов при 2-C и 4-C ($\Delta\delta_{(X-VII)}$, равно соответственно 0,98 и 1,04), что подтверждает положение ацетильных групп при 2-C и 4-C (см. табл. 1). Был получен также три-O,N-бензоат (XI); для него данные ПМР также свидетельствуют о 1C_4 -конформации.

Аналогично для N^1O^3 -карбонил-1- β -*D*-ксилопиранозиламина (VIII) были получены три-O,N-ацетил- (XII) и три-O,N-бензоил- (XIII) произ-

Данные спектров ПМР полученных соединений

Радиочастота I

Номер соединения	δ , м. д.						J , Гц						Растворитель		
	1-Н	2-Н	3-Н	4-Н	5-Н _в (5-Н _а)	6-Н' (6-Н)	NH (OCOCH ₃)	NCH ₂ (NCOCH ₃)	1, 2	2, 3	3, 4	4, 5 _в	5, 6'		
(I)	4,70	3,52	3,58	3,84	3,59 (3,79)	3,79 (3,26)	2,72	7,6	8,7	3,1	1,6	3,4	12,04	CD ₃ O	
(II)	4,68	3,45	3,34	3,45	3,25 (3,32)	3,82 (3,63)	2,71	8,7	8,7	5,2	10,3	14,4		CD ₃ OD	
(III)	4,73	3,46	3,39	3,45	3,45 (3,57)	3,94 (3,77)	2,72	9,4	8,8	8,7	9,8	2,3	5,5	(14,9)	
	4,88	3,41	3,60	3,45			2,74	9,4	9,3	9,4	9,4	2,3	5,6	(12,2)	
(IV)	5,06	3,77	3,69	3,91	3,66 (3,86)	3,47	7,2	8,2	8,2	2,0	4,0		12,4	CD ₃ OD	
(VII)	4,69	4,14	4,47	4,49	3,81 (3,52)	2,3	4,7	2,7	6,5	10,9			11,8	CD ₃ OD	
(VIII)	4,79	4,43	4,01	3,83	3,81 (4,01)				1,2	2,4			13,0	CD ₃ OD	
	5,34	4,82	4,39	4,20	4,12 (4,40)	9,72			1,2	2,4			13,2	C ₅ D ₅ N	
(IX)	~4,8*	3,69	3,84	3,41	3,41 (3,51)	3,86 (3,72)	8,7	10,6	7,4		9,6	2,3	5,2	(12,1)	
	5,28	4,39	4,54	4,33	4,43 (4,36)	4,48 (4,36)	9,90	8,7	10,6	7,3	9,5	2,3	4,9	(12,4)	
(X)	5,04	5,13	4,78	5,23	3,99 (3,73)	6,92 (2,19)	2,2	4,9	2,8	7,0	11,6		13,3	CDCl ₃	
(XI)	6,18	5,60	5,20	5,70	4,38 (4,06)	(2,45) (2,03)	2,2	4,9	2,4	6,4	10,8		12,0	CDCl ₃	
(XII)	6,54	5,32	5,47	5,17	4,22 (4,10)	(2,69)				1,0	2,3		14,6	C ₆ D ₅ N	
(XIII)	6,26	5,33	5,24	5,38	4,30 (4,46)					1,2	3,0		14,6	CDCl ₃	
	6,32	5,42	5,33	5,59	4,32 (4,60)	4,24 (4,04)				1,3	3,4		14,8	(CD ₃) ₂ CO	
(XIV)	5,12	4,04	5,30	5,18		(4,29)	2,10 (2,10)	2,53 (2,07)	9,2	11,4	8,0	9,8	2,4	12,7	CDCl ₃
(XV)	5,62	4,48	5,60	5,81	(4,5)				9,2	10,8			8,3	CDCl ₃	

* Сигнал 1-го протона находится под сигналом гидроксина растворителя.

водные. ПМР-спектры соединений (VIII), (XII), (XIII) имеют хорошо разрешенную тонкую структуру, однако многие значения даже вицинальных констант спин-спинового взаимодействия не удалось получить. Ксилозные производные представляют собой сильно связанные спиновые системы, где почти каждый протон обнаруживает взаимодействие с несколькими другими, что приводит к разрешенным, но трудно интерпретируемым спектрам. Те константы, которые удается измерить, свидетельствуют об изменении конформации ксилозы при переходе от ксилозилметилмочевины (V) к бициклам (VIII), (XII) или (XIII): конформация 1C_4 подтверждается отсутствием вицинальных констант, больших 7 Гц, свидетельствующих о диаксиальном взаимодействии для протона при 4-C.

Поскольку при щелочном разложении нельзя исключить возможность образования димеров, методом эбулиoscкопии были измерены молекулярные массы бициклов (VIII) и (XIII) (табл. 2). Полученные значения соответствуют приписываемой структуре.

Для соединения (VII) данные о мономерной структуре можно получить с помощью масс-спектроскопии его производных. При нагревании N^1,O^3 -карбонил-1- α -D-арабипиранозиламина (VII) с N,O -бис-триметилсилилтрифторацетамидом было получено его пертритилсилапроизводное; в масс-спектре этого соединения наблюдается пик молекулярного иона с m/z 391, а также пики, обусловленные отрывом CO_2 , Me_3Si - и Me_3SiO -групп (m/z 347, 318, 302 соответственно). В масс-спектре пер-O-ацетата (XII) имеется пик молекулярного иона с m/z 301, пики, соответствующие отрыву CO_2 , AcO-группы, 2Ac-групп (m/z 257, 242, 215) и др. В масс-спектрах трибензоатов (XI) или (XIII) имеются пики молекулярных ионов и пики, отвечающие фрагментации с отрывом групп CO_2 , $PhCOOH$, $(CO_2+PhCOOH)$ (m/z 487, 443, 365, 321 соответственно), что подтверждает для исходных соединений (VII) и (VIII) приписываемые структуры.

В шестичленных бициклах (VII), (VIII) частота поглощения CO-группы находится в области 1700 cm^{-1} как в кристаллическом состоянии, так и в водном растворе (табл. 1), что близко к значению частоты поглощения CO-группы для тетрагидро-2H-1,3-оксазин-2-она (1683 cm^{-1}) [8].

Пример мостикового производного глюкопиранозы, аналогичного соединениям (VII) и (VIII), был известен ранее [9]: кислотным гидролизом ди-1,2-O-изопропилиден-3-дезокси-3-гуанидино- α -D-аллофуранозы (XVI) было получено бициклическое производное, выделенное в виде гексацетата (XVII) [9].

При щелочной обработке $3-\beta$ -D-глюкопиранозил-1-метил-1-нитрозомочевины (VI) трудно было ожидать образования мостикового производного, аналогичного продукту трансформации ксилозида (V), поскольку остаток β -D-глюкопиранозы в этом случае должен был бы принять крайне невыгодную 1C_4 -конформацию, при которой все группы, в том числе группа CH_2OH , оказались бы в аксиальном положении. При щелочном разложении 3-глюкопиранозилнитрозометилмочевины (VI) происходит внутримолекулярное карбамоилирование OH-группы при 2-C и образуется бицикл, содержащий гидрированный оксазолидин-2-он, $-N^1,O^2$ -карбонил-1- β -D-глюкопиранозиламин (IX). Ацетилированием уксусным ангидридом в пиридине были получены его пер-O,N-ацетильное и -бензоильное производные (XIV) и (XV). В соединениях (IX), (XIV) и (XV), по данным ПМР, сохраняется исходная конфигурация и конформация β -D-глюкопиранозы (1C_1), при которой все протоны углеводного скелета занимают аксиальное положение (в соединениях (IX), (XIV), (XV) для всех вицинальных протонов цикла глюкозы КССВ составляют 7,3–11 Гц). При переходе от N-глюкозида (III) к бициклу (IX) более всего изменяется химический сдвиг протона при 2-C: $\Delta\delta_{(IX-III)}=0,55$ (см. табл. 1). Это свидетельствует о замещении глюкозы в положении 2. При переходе от бицикла (IX) к пер-O,N-ацетату (XIV) более всего меняется положение сигналов при 3-C и 4-C: $\Delta\delta_{(XIV-IX)}=0,69$ и 1,77 (табл. 1). Это говорит о замещении при ацетилировании OH-групп в положениях 3 и 4. Для группы CH_2OH смещение сигналов при ацетилировании обычно слабее выражено, чем для вторичной OH-группы [10]. В отличие от соединений (VII) и

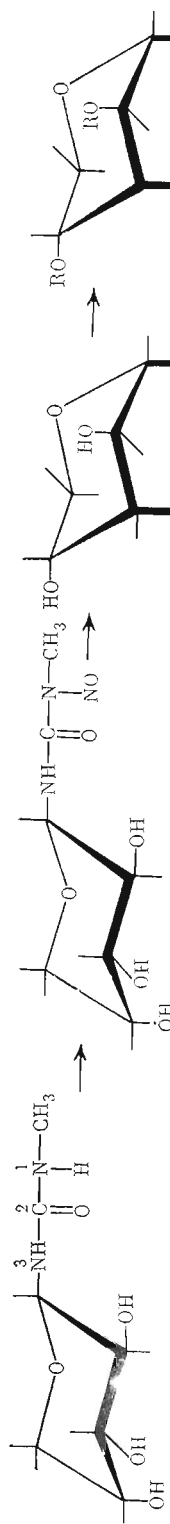
Свойства полученных соединений

Номер соединения	Выход, %	Т. пл., °C	[α] _D ²⁰ с 1,0, грах. (растворитель)	M_T найденная вычисленная	ИК-спектр для фрагментов ROCON _n COR, NCOR	Найдено, %	Вычислено, %			R_f (система)
							С	Н	Н	
(VII)	45,6	175 (разл.)	+24,4 (вода) +6,4 (разл.)	168±8 *	175	4710	44,03	5,26	8,42	C ₆ H ₉ NO ₅ 41,14
(VIII)	39,2	155–167 (разл.)	155–167 (вода) +47,0 (разл.)	205	1695 * (1697) 1750, 1695 (1754, 1697) **	44,20	5,18	8,25	C ₆ H ₉ NO ₃ 41,14	5,18 8,00 0,7 (A)
(IX)	24,6	210–216 (разл.)	126–128 (разл.)	487 2*	487	1765 1725	40,46	5,65	6,90	C ₇ H ₁₄ NO ₆ 40,98
(X)	46,0	126–128 (разл.)	+32,3 (хлороформ)	–11,5 (хлороформ)	301	1750 1700	2,95			C ₂₇ H ₂₄ NO ₈ 2,84
(XI)	29,4	182–188	301 2*	487	1720	4,79				0,4 (B)
(XII)	60,0	224–223	–21,4 (хлороформ)	470±25 * 487 2*	487	1760 1720	66,86	4,73	3,09	C ₁₂ H ₁₅ NO ₈ 4,65
(XIII)	35,3	132–140	+19,5 (хлороформ)	373 2*	373	1705 1750	3,82			0,6 (Г)
(XIV)	25,3	203–215 (разл.)	–19,2 (хлороформ)	618±31 * 622 2*	622	1820 1750	67,44	4,44	2,48	C ₁₅ H ₁₉ NO ₁₀ 3,75
(XV)					1730 1695				67,63	4,38 0,3 (Г)
										2,25

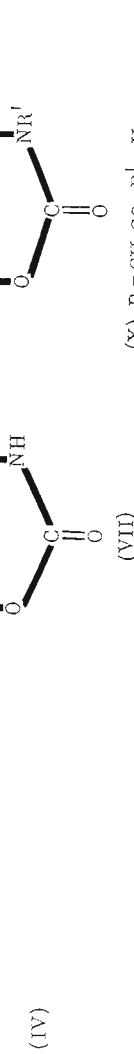
* Определена абулиоскопически.

** По данным масс-спектрометрии.

** Спектры сняты в насыщенном растворе D₂O.

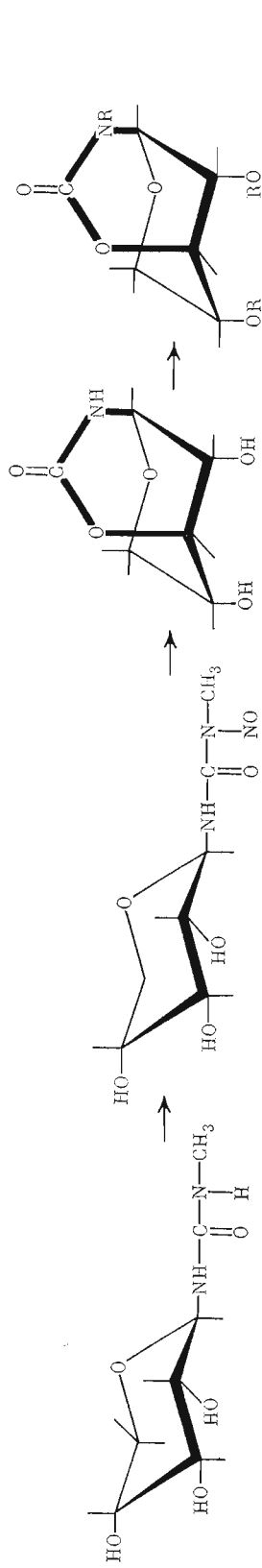


(I)



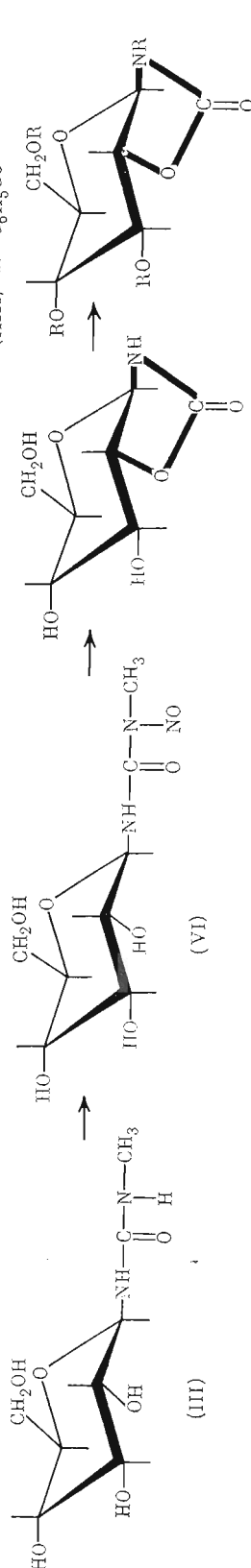
(IV)

(X) $R = \text{CH}_3\text{CO}$, $R^1 = \text{H}$
 (XI) $R = R^1 = \text{C}_6\text{H}_5\text{CO}$



(V)

(XII) $R = \text{CH}_3\text{CO}$
 (XIII) $R = \text{C}_6\text{H}_5\text{CO}$

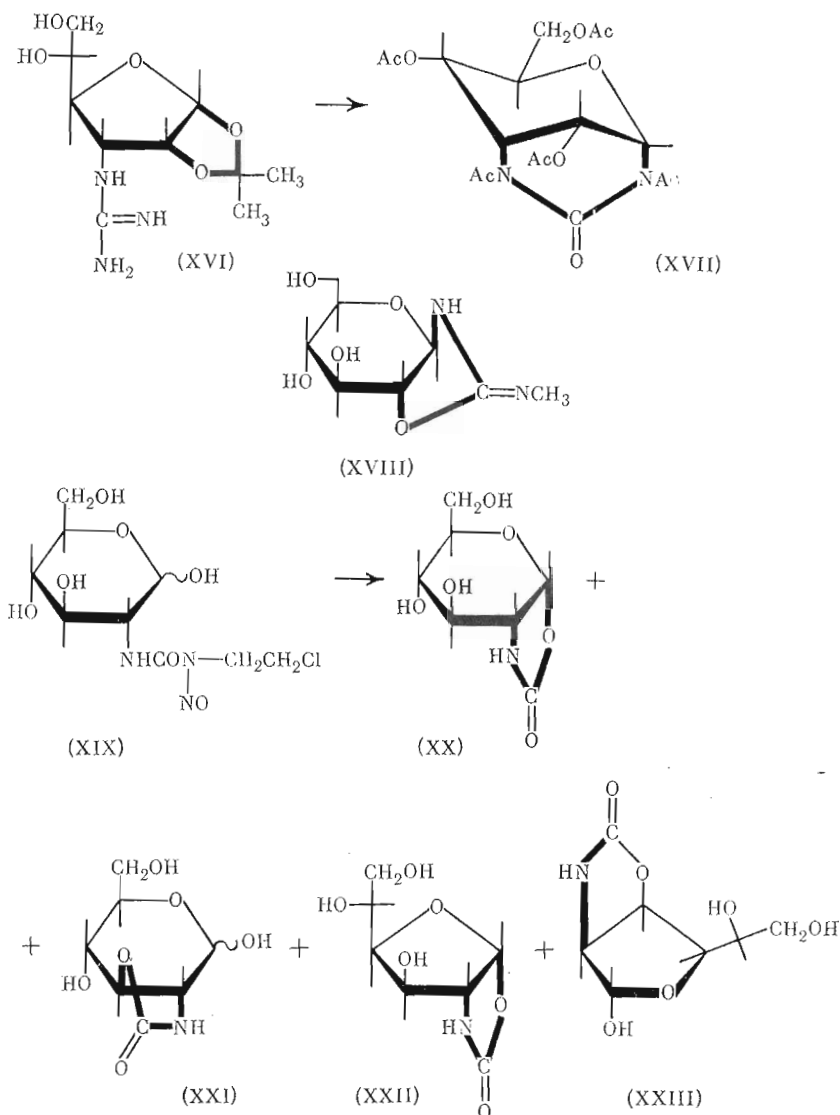


(IX)

(XIV) $R = \text{CH}_3\text{CO}$
 (XV) $R = \text{C}_6\text{H}_5\text{CO}$

(VIII) для производного (IX) тонкой структуры спектра не наблюдается, дальнние КССВ отсутствуют.

Полученное соединение (IX) — один из немногих примеров образования пятичленных циклов, *транс*-конденсированных с гликопиранозным циклом в положениях 1, 2. В качестве других примеров можно привести следующее: при действии окиси ртути на 3-глюкопиранозил-1-метилтиомочевину было выделено *транс*-1,2-производное β -глюкопиранозы, которому на основании данных ПМР была приписана структура (XVIII) [3]. Известен также противоопухолевый препарат хлорозотоцин (XIX), который при нагревании в воде распадается с образованием продуктов внутримолекулярного карбамолирования (XX)–(XXIII), а также димерных структур [8]. Среди продуктов его разложения выделено бициклическое соединение с *цикло*-1,2-сочленением оксазолидин-2-она и α -D-глюкопиранозы (XX), в спектре ПМР которого КССВ вицинальных протонов составляют $J_{1,2}$ 7,0, $J_{2,3}$ 4,0, $J_{3,4}$ 5,3, $J_{4,5}$ 6,7 Гц, что свидетельствует об ином состоянии конформационного равновесия такого *цикло*-сочлененного производного α -D-глюкопиранозы по сравнению с нашим производным β -D-глюкопиранозы (IX).



Соединение (IX) существует в конформации 4C_4 , однако эта конформация, по-видимому, несколько искажена, так как значения $J_{3,4}$ меньше,

чем $J_{2,3}$. Можно полагать, что такая жесткая и несколько искаженная конформация бициклического соединения делает его неспособным к дальнейшим изменениям и затрудняет стадию образования промежуточного циклического комплексного иона периода с НО-группами при 3-Н и 4-Н глюкозного цикла. Именно в связи с этим соединение (IX) окисляется периодатом медленно (в течение 1 ч при 18°C расходуется только 11% эквивалента HIO_4). Это соединение не титруется в условиях неводного титрования кислотой или щелочью. Определение молекулярной массы методом эбулиоскопии подтвердило предложенное строение тетрабензоата (XV) (табл. 1)*. В масс-спектре тетраацетата (XIV) отмечен малоинтенсивный пик молекулярного иона и пики, соответствующие отщеплению фрагментов CO , CO_2 , AcO , CH_2OAc , AcNCOO (m/z соответственно 373, 345, 329, 314, 300, 272). Для тетрабензоата (XV) отмечены пики: $M^+ - m/z$ 622, $(M-\text{CO}_2)^+ - 578$, $(M-\text{PhCO})^+ - 517$, $(M-\text{PhCOOH}-\text{CO}_2)^+ - 456$, $(M-\text{PhCONCOO})^+ - 459$. В ИК-спектре группы NCCOR в пятичленном оксазолиноне соответствуют частоты при 1697 и 1751 cm^{-1} , что свидетельствует о большей напряженности пятичленного цикла по сравнению с шестиличленными бициклами (VII) и (VIII).

Таким образом, при разложении 3-гликопиранозил-1-метил-1-нитрозомочевин под действием щелочи образуются продукты внутримолекулярного карбамоилирования различного типа: в том случае, если возможен переход гликопиранозы в конформацию с 1,3-*цис*-диаксиальным расположением заместителей, образуются 1,3-мостиковые производные углеводов (β -D-ксило- и α -D-арabinопиранозы), а если такая конформация энергетически невыгодна, то происходит карбамоилирование 2-OH-группы (β -D-глюкогипиранозы). В этом отношении изученные нами соединения резко отличаются от продуктов щелочного распада противоопухолевого антибиотика стрептозоцина [11] и хлорозотоцина [10]. Для них выделены продукты внутримолекулярного карбамоилирования OH-групп в положениях 1 или 3 всегда в α -конфигурации (с *цис*-сочленением циклов), при этом также происходит изомеризация углеводного скелета и преобладающими продуктами реакции являются бициклические производные α -D-глюкофуранозы. Таким образом, даже в сравнительно однотипных соединениях — 3-гликопиранозил-1-метил-1-нитрозомочевинах характер гликозидного остатка может существенно влиять на реакционную способность соединений и их биологические свойства.

Представляет интерес изучить, образуются ли продукты внутримолекулярного карбамоилирования гликозилнитрозометилмочевин при биотрансформации этих соединений, или они сохраняют способность карбамоилировать нуклеофильные фрагменты белка, прежде всего лизина. При изучении взаимодействия 3- α -D-арабинопиранозил-1-нитрозо-1-метилмочевины с 5-метокситриптамином нам удалось выделить лишь продукт внутримолекулярного карбамоилирования (VII) с выходом 66%. Полученные нами бициклические производные углеводов нового типа могут представить интерес для синтетической химии моносахаридов и гетероциклов.

Экспериментальная часть

Спектры ПМР записаны на спектрометре Bruker WH-360 (внутренний стандарт — тетраметилсиликан) в режиме квадратурного фазового детектирования. Для отнесения сигналов использовали методику двойного гомоядерного резонанса, а также методику сужения линий и модифицированную методику множественного сольвентного подавления с независимым гомодекаплингом с отбрасыванием нескольких начальных сканов. Для повышения разрешающей способности ряд спектров снимали в условиях искусственно созданного наворота, не затрагивающего исследуемую область. Объем используемой памяти составлял 16 К точек, время сбора данных на одном скане составляло 8–30 с, что позволяло не вво-

* Авторы выражают глубокую благодарность А. Г. Давыдову (МИТХТ им. М. В. Ломоносова) за определение молекулярных масс на парофазном осмометре.

дить релаксационной задержки. При использовании двойного резонанса спектры записывали как в обычном, так и в вентильном режиме. Число сканов варьировали от 16 до нескольких сотен. ИК-спектры снимали на приборе Perkin – Elmer IR-283 (США) в таблетках с KBr или в вазелиновом масле, ИК-спектры в D₂O сняты на приборе Digilab с фурье-преобразованием (США); масс-спектры снимали на масс-спектрометре 311-A Varian (ФРГ); удельные вращения определяли на поляриметре Perkin – Elmer 241 (США), молекулярные веса — методом эбулиоскопии на парофазном осмометре Hitachi – Perkin – Elmer 115.

Для хроматографии в тонком слое использовали силуфол UV-254, для preparativной хроматографии — силикагель ЛСЛ 5/40 фирмы Chemapol (ЧССР) и пластиинки размером 20×20 см с толщиной незакрепленного слоя силикагеля 1 и 2 мм. Использовали следующие системы растворителей: хлороформ — метанол, 2:1 (A); хлороформ — CCl₄, 10:1 (B); хлороформ — метанол, 40:1 (B); хлороформ — метанол, 20:1 (Г). Хроматограммы проявляли опрыскиванием 2% водным раствором KMnO₄ или в УФ-свете.

Свойства синтезированных соединений приведены в табл. 2.

Бициклические производные (VII), (VIII), (IX). 9 г 3-гликозил-1-метилмочевины (I), (II) или (III) [5–7] растворяли в 300 мл 10% уксусной кислоты и добавляли по каплям раствор 5 г NaNO₂ в 70 мл воды при охлаждении льдом, оставляли на 12 ч при 20° С, добавляли 70 мл смолы КУ-2 (H⁺), перемешивали 15 мин, смолу отфильтровывали. Далее обрабатывали двумя способами.

А. К раствору 3-гликозил-1-метил-1-нитрозомочевины (IV)–(VI) добавляли 1 н. NaOH до pH 10 и перемешивали 5 мин, затем нейтрализовали смолой КУ-2 (H⁺) (~150 мл) и перемешивали 10 мин. Смолу отфильтровывали, а фильтрат лиофилизовали. Полученную пену кристаллизовали из метанола. Получали белое кристаллическое вещество (VII), (VII) или (IX) соответственно.

Б. Раствор 3-(α -D-арabinопиранозил)-1-метилнитрозомочевины (IV) высушивали лиофилью. Сухой остаток перекристаллизовывали из метанола, сушили над P₂O₅ в вакуумном экскаторе. Получали 10 г (80%) нитрозомочевины (IV) в виде бесцветных кристаллов с т. разл. 95° С; $[\alpha]_D^{20}$ −14° (с 1,0 в метаноле); R_f 0,5 (хлороформ — метанол, 4:1), силуфол (в УФ-свете). УФ-спектр (в спирте), $\lambda_{\text{макс}}$, нм (lg ε): 232 (3,699). ИК-спектр (KBr), см^{−1}: 3600–3200, 1720, 1540, 1480. Найдено, %: С 35,52; Н 5,41; N 18,1. C₇H₁₃N₃O₆. Вычислено, %: С 35,74; Н 5,57; N 17,87. К раствору 1 г 3-(α -D-арабинопирапозил)-1-метил-1-нитрозомочевины (IV) в 10 мл воды приливали раствор 1 г 5-метокситриптамина в 15 мл метанола, перемешивали 24 ч, упаривали досуха, остаток кристаллизовали из метанола. Получали 0,49 г (66%) белых игольчатых кристаллов соединения (VII).

Пер-O,N-бензоильные производные бициклов (XI), (XIII), (XV). 0,3 г бицикла (VII), (VIII) или (IX) растворяли в 10 мл сухого пиридина и при охлаждении льдом добавляли 1 мл хлористого бензоила. Реакционную массу оставляли на 12 ч, экстрагировали хлороформом (2×10 мл), хлороформный экстракт промывали 10 мл насыщенного раствора NaHCO₃, затем водой (2×10 мл) и сушили над Na₂SO₄; Na₂SO₄ отфильтровывали, а фильтрат упаривали досуха. Остаток кристаллизовали из метанола. Получали белое кристаллическое вещество (XI), (XIII) или (XV).

Пер-O,N-ацетильные производные бициклов (XII), (XIV). К 0,26 г бицикла (VIII) или (IX) приливали 6 мл смеси уксусный ангидрид — пиридин (1:1) и оставляли при 20° С на 12 ч, упаривали до 1 мл и выливали в 13 мл воды. Реакционную смесь экстрагировали хлороформом (2×15 мл), экстракт промывали 15 мл воды, 10 мл 0,5 н. HCl, 10 мл 0,5 н. NaHCO₃ и снова водой (2×10 мл), сушили над Na₂SO₄. Na₂SO₄ отфильтровывали, фильтрат упаривали досуха. Остаток хроматографировали на пластиинках в системе Г. Отбирали фракцию с R_f 0,3 (для (XII)) или 0,2 (для (XIV)). Извлекали вещество этилацетатом и получали соединение

(XIV) в виде бесцветной твердой пены или соединение (XII) в виде бесцветного кристаллического вещества.

2,4-Ди-O-ацетил-N¹,O³-карбонил-α-D-арабинопиранозиламин (X). 0,04 г D-арabinозного бицикла (VII) растворяли в 4 мл пиридина и при охлаждении льдом добавляли 2 мл уксусного ангидрида, оставляли на 12 ч, добавляли метанол, упаривали досуха. Сухой остаток растворяли в этилацетате, промывали водой, сушили над Na₂SO₄. Хроматографировали на пластинках в системе Г, отбирали фракцию с R_f 0,57, элюировали этил-ацетатом. Получали 0,03 г (50%) соединения (X) в виде светлого маслянистого вещества. [α]_D²⁰ − 18,6° (с 1,0, метанол).

ЛИТЕРАТУРА

1. Эмануэль Н. М., Корман Д. Б., Островская Л. А., Горбачева Л. Б., Дементьев Н. П. В кн.: Нитрозоалкилмочевины — новый класс противоопухолевых препаратов. М.: Наука, 1978.
2. Vu V. T., Tew K. D., Ahlgren J. D., Byrne P. J., Wang A. L., Green D. C., Schein P. S. Cancer treatment symposia, 1983, v. 1, p. 37–43.
3. Bannister B. J. Antibiot., 1972, v. XXV, № 7, p. 377–386.
4. Machinami T., Korayashi K., Hayakawa Y., Suami T. Bull. Chem. Soc. Japan, 1975, v. 48(12), p. 3761–3762.
5. Benn M. H., Jones A. S. Chem. and Ind., 1959, p. 997–998.
6. Schoorl N. Rec. Trav. Chem., 1903, v. 22, p. 31–77.
7. Helferich B., Kosche W. Chem. Ber., 1926, B. 59, S. 69–79.
8. Преображенская М. Н., Миникер Т. Д., Мартынов В. С., Яхонтов А. Н., Краснопутская Д. М. Ж. орган. химии, 1974, т. 10, № 11, с. 2449–2454.
9. Hammer C. F., Loranger R. A., Schein P. S. J. Org. Chem., 1981, v. 46, № 8, p. 1521–1531.
10. Joshimura J., Sekiya T., Ogura J. Bull. Chem. Soc. Japan, 1974, v. 47, № 5, p. 1219–1223.
11. Wiley P. F., Herr R. R., Jahnke H. K., Chidester C. G., Mizson S., Spaulding L. B., Argoudelis A. D. J. Org. Chem., 1979, v. 44, № 1, p. 9–15.

Поступила в редакцию
28.II.1984

INTRAMOLECULAR CARBAMOYLATION ON ALKALINE DEGRADATION OF 3-GLYCOPYRANOSYL-1-METHYL-1-NITROSOUreas

MUKHANOV V. I., KUSTOVA I. L., GAGLOEV V. N.,
YARTSEVA I. V., SHEVCHENKO V. E., VEVERIS A. Y.*., SPINZE B. A.*,
PREOBRAZHENSKAYA M. N.

All-Union Cancer Research Center, Academy of Medical Sciences
of the USSR, Moscow; * All-Union Research Institute of Applied
Biochemistry, Ministry of Chemical Industry of the USSR,
Olaine, Latvian SSR

Upon alkali action on 3- α -D-arabinopyranosyl-1-methyl-1-nitrosourea or 3- β -D-xylopyranosyl-1-methyl-1-nitrosourea the intramolecular carbamoylation takes place producing N¹,O³-carbonyl- α -D-arabinopyranosylamine or N¹,O³-carbonyl- β -D-xylopyranosylamine, respectively, which are the representatives of a rare class of bridged carbohydrate derivatives. On cyclization, the conformation of α -D-arabinopyranose changes from ¹C₄ to ⁴C₁ and that of β -D-xylopyranose from ⁴C₁ to ¹C₄. Alkaline treatment of 3- β -D-glucopyranosyl-1-methyl-1-nitrosourea leads to bicyclic N¹,O²-carbonyl- β -D-glycopyranosylamine with 1,2-trans fusion of cycles. The investigation of the transformation of 3-glycosyl-1-methyl-1-nitrosoureas is important for understanding the role of carbamoylation reactions in the biological effects of methylnitrosoureas.